





DM, DZ, EC, EE, EE (Gebrauchsmuster), ES, FI, FI (Gebrauchsmuster), GB, GD, GE, GH, GM, HR, HU, ID, IL, IN, IS, JP, KE, KG, KP, KR, KZ, LC, LK, LR, LS, LT, LU, LV, MA, MD, MG, MK, MN, MW, MX, MZ, NO, NZ, PH, PL, PT, RO, RU, SD, SE, SG, SI, SK, SK (Gebrauchsmuster), SL, TJ, TM, TR, TT, TZ, UA, UG, US, UZ, VN, YU, ZA, ZW.

- (84) **Bestimmungsstaaten (regional):** ARIPO-Patent (GH, GM, KE, LS, MW, MZ, SD, SL, SZ, TZ, UG, ZW), eurasisches Patent (AM, AZ, BY, KG, KZ, MD, RU, TJ, TM), europäisches Patent (AT, BE, CH, CY, DE, DK, ES, FI, FR, GB, GR, IE, IT, LU, MC, NL, PT, SE, TR), OAPI-Patent (BF, BJ, CF, CG, CI, CM, GA, GN, GQ, GW, ML, MR, NE, SN, TD, TG).

**Erklärung gemäß Regel 4.17:**

— *Erfindererklärung (Regel 4.17 Ziffer iv) nur für US*

**Veröffentlicht:**

— *mit internationalem Recherchenbericht*  
 — *vor Ablauf der für Änderungen der Ansprüche geltenden Frist; Veröffentlichung wird wiederholt, falls Änderungen eintreffen*

*Zur Erklärung der Zweibuchstaben-Codes und der anderen Abkürzungen wird auf die Erklärungen ("Guidance Notes on Codes and Abbreviations") am Anfang jeder regulären Ausgabe der PCT-Gazette verwiesen.*

(57) **Zusammenfassung:** Zwischen verschiedenen Betriebsarten umschaltbare Dentallaseranordnung, mit einer als Laser-Oszillator und als Laser-Verstärker betreibbaren Laservorrichtung (1), enthaltend einen Laserresonator (8), der eine Pumpeinheit (12) und einen aktiven Modenkoppler (16) sowie ein selektive Verluste im Resonator (8) einführendes optisches Verlustelement (17') aufweist, und eine Laserstrahl-Auskopplungseinheit (21), wobei der Modenkoppler (16) an eine Steuerschaltung (27) angeschaltet ist zum Umschalten zwischen einer zum Koagulieren von weichem Gewebe vorgesehenen CW-Betriebsart (C), in der der Modenkoppler (16) abgeschaltet ist, und zwei Kurzpuls-Betriebsarten (A, S), in denen von der Steuerschaltung (27) HF-Signale mit gleicher Frequenz, jedoch unterschiedlicher Leistung ( $P_1$ ,  $P_2$ ) an den Modenkoppler (16) gelegt sind, um Laserimpulse vorbestimmter Dauer zu erzeugen, wobei eine der zwei Kurzpuls-Betriebsarten (A) zum Abtragen von hartem Zahngewebe und die andere Kurzpuls-Betriebsart (S), in der die Laserstrahlung im Vergleich zur erstgenannten Kurzpuls-Betriebsart eine geringere Spitzenleistung aufweist, zum Oberflächenversiegeln von hartem Zahngewebe vorgesehen ist, und wobei ein Ausgang der Steuerschaltung (27) weiters an das ansteuerbare optische Verlustelement (17') zur Steuerung der Verluste im Resonator (8) in den Kurzpuls-Betriebsarten gelegt ist.

## Laservorrichtung

Die Erfindung betrifft eine zwischen verschiedenen Betriebsarten umschaltbare Dentallaseranordnung.

Eine solche Dentallaseranordnung ist bereits aus der WO 98/41355 A bekannt (eine ähnliche Laseranordnung ist in der WO 95/32679 A beschrieben); dabei wird die Laserstrahlung für die Abtragung von hartem Zahngewebe eingesetzt, und es ist überdies vorgesehen, für verschiedene Anwendungen (z.B. oberflächliche Abtragung und tiefe Abtragung) verschiedene Laserstrahlungen, mit verschiedenen Wellenlängen, vorzusehen, und demgemäß sollen verschiedene Laserquellen eingesetzt werden, zwischen denen im Betrieb umgeschaltet wird. Diese Verwendung von mehreren Laserquellen sowie die weiters - gemäß WO 98/41355 A - vorgesehene Verwendung von eigenen optischen Fasern für jede Laserstrahlung ist jedoch ziemlich aufwendig.

An sich sind verschiedene Einsatzmöglichkeiten für Laser in der Dentalmedizin gegeben. Beispielsweise ist zusätzlich zur Abtragung von Zahngewebe eine Versiegelung von Oberflächen von hartem Gewebe mit kurzen Laserimpulsen denkbar, wobei ebenso wie beim Abtragen eine Überhitzung des Zahngewebes zu vermeiden ist. Andererseits sind thermische Wechselwirkungen zwischen Laserstrahl und Gewebe denkbar und erwünscht, nämlich dann, wenn eine Eiweiß-Koagulation zur Stoppung von Blutungen gewünscht wird.

Wie erwähnt wurden in der Vergangenheit für unterschiedliche Behandlungen in der Dentalmedizin verschiedene Laserquellen, eingesetzt, wobei auch das Wechseln zwischen diesen Systemen aufwendig ist, insbesondere wenn zusätzlich Teile, wie Handstücke, getauscht werden müssen.

Es sind andererseits bereits Kurzpuls-Laservorrichtungen bekannt, mit denen in einem modenverkoppelten Zustand kurze Laserimpulse mit hoher Energie erzeugt werden. Solche Kurzpuls-Laservorrichtungen werden beispielsweise für Materialbearbeitungen oder aber für wissenschaftliche Arbeiten eingesetzt, und es wurde auch bereits eine Verwendung in der Dentalmedizin vorgeschlagen, vgl. US 5 742 634 A. Hinsichtlich der Erzeugung von kurzen Laserimpulsen kann beispielsweise auch noch auf die WO 98/10494 A sowie auf A. Stingl et al.: Generation of 11-fs pulses from a Ti:sapphire laser without the use of prisms; Optics Letters Vol. 19, Nr. 3, 1. Februar 1994, S. 204-206, verwiesen werden.

Die Standardtechnik zur Erzeugung von kurzen Laserimpulsen mit hoher Energie beruht auf der Technik eines Laseroszillators und eines Laserverstärkers. Der Laseroszillator, der eine Pump-einheit enthält, der beispielsweise ein Laser-Pumpstrahl zuge-führt wird, oder in der ein Diodenlaser vorgesehen ist, erzeugt eine Folge von kurzen Laserimpulsen mit niedriger Energie, bei-spielsweise mit einer Wiederholungsfrequenz im Bereich von eini-gen zehn MHz. Aus diesen Oszillator-Laserimpulsen werden Impulse mit einer niedrigeren Wiederholungsfrequenz selektiert und in einem regenerativen oder sog. Multipass-Verstärker zu Impulsen mit hoher Energie verstärkt.

Bekannt ist auch das sog. "All-in-one"-Laserkonzept, bei dem nur eine Laservorrichtung vorgesehen ist, welche sowohl als Os-zillator als auch als regenerativer Verstärker eingesetzt wird, indem einfach die Pulsformung (bei niedrigen Energien) einerseits und die Verstärkung (auf hohe Energien) andererseits zu ver-schiedenen Zeiten vorgenommen werden. Bekannte Laservorrichtungen dieser Art (vgl. z.B. L. Turi, T. Juhasz: Diode-pumped Nd:YLF all-in-one laser; Optics Letters Vol. 20, Nr. 14, 15. Juli 1995, S. 1541-1543), mit einer Oszillatorfunktion ebenso wie einer Verstärkerfunktion, setzen aktive Modenverkopplung mit einem akusto-optischen Modulator ein.

Ein demgegenüber modifizierter All-in-one-Laser ist ferner in der älteren, nicht vorveröffentlichten Anmeldung WO 01/05001 A (PCT/AT00/00173) beschrieben.

Es ist nun Aufgabe der Erfindung, eine Dentallaseranordnung (wie eingangs angeführt vorzusehen, mit der in vorteilhafter Weise ein Umschalten zwischen den verschiedenen Betriebsarten oder Be-handlungsarten ausgehend von einem einzigen Lasersystem möglich ist, so dass beispielsweise bei einer Zahnbehandlung ein unmit-telbares Umschalten von einem Betrieb, in dem Zahngewebe abge-tragen wird, auf einen Betrieb möglich ist, in dem eine Blutung durch Eiweißkoagulation gestoppt wird, bzw. gegebenenfalls auch auf einen Betrieb, in dem eine Versiegelung von offenen Stellen an einem Zahn möglich ist. Dieser Wechsel soll dabei insbesondere durch einfaches Umschalten, beispielsweise mit einem mechanischen Schalter, ermöglicht werden.

Die erfindungsgemäße umschaltbare Dentallaseranordnung ist demgemäß dadurch gekennzeichnet, dass eine als Laser-Oszillator und als Laser-Verstärker betreibbare Laservorrichtung (All-in-

one-Laservorrichtung) mit einem Laserresonator, der eine Pump-einheit und einen aktiven Modenkoppler sowie ein selektive Verluste im Resonator einführendes optisches Verlustelement aufweist, und mit einer Laserstrahl-Auskopplungseinheit, wobei der Modenkoppler an eine Steuerschaltung angeschaltet ist zum Umschalten zwischen einer zum Koagulieren von weichem Gewebe vorgesehenen CW-Betriebsart, in der der Modenkoppler abgeschaltet ist, und zwei Kurzpuls-Betriebsarten, in denen von der Steuerung HF-Signale mit gleicher Frequenz, jedoch unterschiedlicher Leistung an den Modenkoppler gelegt sind, um Laserimpulse vorbestimmter Dauer zu erzeugen, wobei eine der zwei Kurzpuls-Betriebsarten zum Abtragen von hartem Zahngewebe vorgesehen ist, wogegen die andere Kurzpuls-Betriebsart, in der die Laserstrahlung im Vergleich zur erstgenannten Kurzpuls-Betriebsart eine geringere Spitzenleistung aufweist, zum Oberflächenversiegeln von hartem Zahngewebe vorgesehen ist, und wobei ein Ausgang der Steuerschaltung weiters an das ansteuerbare optische Verlustelement zur Steuerung der Verluste im Resonator in den Kurzpuls-Betriebsarten gelegt ist.

Die vorliegende Dentallaseranordnung basiert somit auf dem vorstehend beschriebenen All-in-one-Konzept, d.h. es wird eine einzige Laservorrichtung eingesetzt, die mit Hilfe der Steuerschaltung zwischen den verschiedenen Betriebsarten so umgeschaltet werden kann, dass sie entweder als CW-(CW - Continuous Wave - Dauerstrich)-Lasersystem oder als Kurzpuls-Lasersystem arbeitet, wobei hier wiederum verschiedene Betriebsarten vorgesehen sind, die ebenfalls mit Hilfe der Steuerschaltung eingestellt werden können. In der CW-Betriebsart wird ein CW-Laserstrahl erzeugt, wobei der Modenkoppler abgeschaltet ist, d.h. es wird kein Steuersignal von der Steuerschaltung an den Modenkoppler angelegt. Der CW-Laserstrahl wird hinsichtlich seiner Ausgangsleistung beispielsweise durch entsprechende Ansteuerung der Auskopplung festgelegt. Andererseits wird in den Kurzpuls-Betriebsarten ein entsprechendes Hochfrequenzsignal mit der erforderlichen Leistung an den Modenkoppler gelegt, um die gewünschten kurzen Impulse zu erzeugen. Je nach Leistung des jeweils an den Modenkoppler angelegten HF-Signals bilden sich Laserimpulse mit längerer oder kürzerer Dauer aus. In diesen Kurzpuls-Betriebsarten wird ferner die Laserverstärker-Funktion bewirkt, um wie einleitend beschrieben einzelne Kurzpulse nach Aufschaukeln auf hohe Energien

nutzen zu können. Dabei werden vorübergehend Verluste in das Lasersystem eingeführt, die die Pumpeinheit durch laufende Anhebung der Verstärkung auszugleichen sucht. Wenn dann die Verluste bei einem hohen Verstärkungsgrad plötzlich weggeschaltet werden, wird der Laser-Kurzpuls innerhalb weniger Durchläufe im Resonator zu Folge der noch hohen Verstärkung in der Pumpeinheit auf eine hohe Energie gebracht und sodann zum Zeitpunkt der Sättigung ausgekoppelt. Von besonderem Vorteil ist hier auch, dass das optische Verlustelement mehrfach ausgenutzt werden kann, nämlich einerseits zur Leistungssteuerung im Dauerstrichbetrieb und andererseits als Steuer- und Schaltelement in den Kurzpuls-Betriebsarten. Das ansteuerbare optische Verlustelement kann dabei einfach durch einen den Grad der Auskopplung des Laserstrahls steuernden optischen Schalter, insbesondere durch eine Pockelszelle in Verbindung mit einem  $\lambda/4$ -Plättchen, gebildet sein. Dieser optische Schalter bzw. diese Pockelszelle führt in einem längeren Rhythmus dadurch Verluste in die Laserstrahlung ein, dass ein Teil der Laserstrahlung (durch entsprechende Drehung ihrer Polarisationssebene) an einem Strahlteiler ausgekoppelt wird; bei Anlegen eines  $\lambda/4$ -Spannungssignals an die Pockelszelle in Verbindung mit dem  $\lambda/4$ -Plättchen bzw. bei Abschalten der Spannung am optischen Schalter wird zufolge der sich jeweils ergebenden Ausrichtung der Polarisationssebene des Laserstrahls ein Hintanhalten der Auskopplung bzw. ein Auskoppeln des Kurzpulses zum gewünschten Zeitpunkt erreicht.

Um demgemäß den Grad der Auskopplung des Laserstrahls zwecks Einführung von Verlusten bzw. Verstärkung der erzeugten Kurzpulse und deren Auskopplung auf zweckmäßige Weise zu erzeugen, ist es von Vorteil, wenn die Steuerschaltung zur Abgabe unterschiedlich hoher Spannungen an die Pockelszelle, je nach eingeschalteter Betriebsart, schaltbar ist. Für das kurzfristige Aufschaukeln der Laserpulse in der Verstärkungsphase (ohne Auskoppeln von Laserstrahlung) sowie das bei Sättigung erfolgende Auskoppeln der energiereichen Kurzpulse ist es weiters günstig, wenn die Steuerschaltung zur Abgabe gesonderter Spannungs-EIN- und AUS-Schaltsignale an die Pockelszelle eingerichtet ist. Um die verschiedenen Schaltvorgänge dabei phasenrichtig vorzunehmen, ist es überdies vorteilhaft, wenn die EIN- und AUS-Schaltsignale in der Steuerschaltung aus dem ihr zugeführten HF-Signal durch Frequenzteilung und mit Hilfe unterschiedlicher Verzögerungsglieder

hergeleitet werden.

Der Modenkoppler kann beispielsweise ein akusto-optischer Modenkoppler sein, und er bewirkt die Bildung von Laserimpulsen, deren Frequenz grundsätzlich durch die Frequenz des HF-Signals bestimmt ist, wobei die Frequenz natürlich auf die Länge des Resonators abgestimmt sein muss und beispielsweise bei gängigen Resonator-Längen (und damit Laufzeiten der Laserimpulse im Resonator) 75 oder 80 MHz betragen kann. Hingegen treten in den Kurzpuls-Betriebsarten die verstärkten Laserpulse, die mit Energie angereichert wurden, mit einer Wiederholungsfrequenz von beispielsweise 5 kHz auf.

Um in den verschiedenen Kurzpuls-Betriebsarten Laserstrahlung mit unterschiedlicher Energie zur Verfügung zu haben, ist der Modenkoppler von der Steuerschaltung durch HF-Signale mit gleicher Frequenz, jedoch unterschiedlicher Leistung schaltbar. Je nach Leistung des an den Modenkoppler angelegten HF-Signals bilden sich Kurzpulse mit entsprechender kürzerer oder längerer Pulsdauer aus, und diese Kurzpulse werden in der Folge auf die beschriebene Weise auf höhere oder weniger hohe Spitzenleistungen verstärkt. Dies geschieht dabei ohne weitere Einstellung der Laservorrichtung von selbst. Die Durchschnitts-Ausgangsleistung bleibt dabei naturgemäß gleich. Für die Steuerung der Leistung des HF-Signals ist es dabei günstig, wenn die Steuerschaltung einen HF-Generator mit einem regelbaren Leistungsverstärker enthält.

Um das Umschalten zwischen den einzelnen Betriebsarten möglichst einfach zu gestalten, kann die Steuerschaltung an einen Betriebsarten-Wählschalter, z.B. einen Fußschalter, angeschlossen sein. Je nach Stellung des Wählschalters gibt die Steuerschaltung die entsprechenden Steuersignale an die verschiedenen Komponenten der Laservorrichtung, wie insbesondere an den Modenkoppler bzw. an den optischen Schalter, ab, um die gewünschte Betriebsart einzustellen. Auf diese Weise kann wie erwähnt die genannte CW-Laserstrahlung für ein "Koagulieren" von weichem Gewebe bzw. eine Kurzpuls-Erzeugung bewirkt werden, wenn in einer Betriebsart "Abtragen" ("Ablation") ein HF-Signal entsprechender Leistung an den Modenkoppler gelegt wird, um die gewünschten Kurzpulse zu erzeugen. In einer Betriebsart "Oberflächenversiegeln" wird die Leistung des an den Modenkoppler angelegten HF-Signals reduziert, so dass sich Laserimpulse mit größerer Dauer ausbilden, wobei die

Laserstrahlung eine geringere Spitzenleistung hat.

Eine Koagulationswirkung wird am besten mit einem CW-Laserstrahl mit einer Leistung bis zu 3 W erhalten, wobei die Position des Laser-Fokus fest bleiben kann. Zum Abtragen von Zahngewebe wird, wie Untersuchungen gezeigt haben, bevorzugt eine Pulsdauer von weniger als 1 ps verwendet. Hingegen werden zur Oberflächenversiegelung Pulsdauern von ungefähr 100 ps vorgesehen. Eine solche Oberflächenversiegelung wird vom Zahnarzt vorgenommen, um offene Stellen des Zahns zu versiegeln. Zum Abtragen von Zahngewebe ebenso wie bei der Oberflächenversiegelung ist eine Erwärmung des Zahns zu vermeiden, wobei bei der Behandlung von Karies Temperaturanstiege von mehr als 5°C nicht nur Schmerzen, sondern auch irreversible Schädigungen der Pulpa verursachen können. Zu diesem Zweck kann der Laserstrahl bzw. sein Fokus am Zahn hin und her bewegt werden.

Für die Steuerung des Laserstrahls auf bestimmte Zielpunkte hin ist es ferner vorteilhaft, wenn im Weg des ausgekoppelten Laserstrahls ein die Frequenz eines Teils des Laserstrahls verdoppelnder Frequenzverdoppler zum Vorsehen eines sichtbaren Lichtstrahls vorgesehen ist. Weiters ist es für eine selektive Abschwächung der Laserstrahl-Leistung günstig, wenn im Weg des ausgekoppelten Laserstrahls ein steuerbarer Abschwächer, z.B. eine Scheibe mit Teilen unterschiedlicher Reflektivität oder ein aus Filtermaterial gebildeter Keil, angeordnet ist.

Die Erfindung wird nachstehend anhand von bevorzugten Ausführungsbeispielen, auf die sie jedoch nicht beschränkt sein soll, und unter Bezugnahme auf die Zeichnung noch weiter erläutert. In der Zeichnung zeigen im Einzelnen:

Fig. 1 schematisch eine Dentallaseranordnung, wobei nur ganz schematisch ein Handstück sowie ein zu behandelnder Zahn veranschaulicht sind;

Fig. 2 ein Schema der dabei eingesetzten All-in-one-Laservorrichtung mit ihren einzelnen optischen Komponenten;

Fig. 3 ein Schema dieser Laservorrichtung mit den einzelnen Komponenten in der Art eines Blockschaltbildes;

Fig. 4 mit den Fig. 4a und 4b ein Diagramm mit einzelnen HF-Signal-Leistungspegeln (Fig. 4a) und Steuerspannungen (Fig. 4b) für die verschiedenen Betriebsarten der Laservorrichtung;

Fig. 5 ein gegenüber Fig. 3 detaillierteres Schaltbild von Teilen der Steuerkomponenten der Laservorrichtung;



Fig. 6 in Teil-Diagrammen Fig. 6a bis 6f die Herleitung von verschiedenen Signalen mit Hilfe der Komponenten von Fig. 5;

Fig. 7 ein Diagramm zur Veranschaulichung des Vorganges beim Verstärken der Laserimpulse;

Fig. 8 ein Schema zur Veranschaulichung der Arbeitsbereiche für die verschiedenen Betriebsarten der Laservorrichtung in einem Diagramm "Spitzenleistung" über "Einwirkzeit"; und

die Fig. 9 und 10 schematisch je die Anordnung eines Frequenzverdopplers und eines steuerbaren Abschwächers im Weg des ausgekoppelten Laserstrahls, um zusätzlich einen Pilot-Laserstrahl mit sichtbarem Licht für die Sichtbarmachung des Zielpunktes sowie die Möglichkeit einer Laserstrahl-Leistungsabschwächung vorzusehen.

In Fig. 1 ist nur ganz schematisch und nicht maßstäblich eine dentalmedizinische Laseranordnung mit einer Laservorrichtung 1 veranschaulicht, an die in an sich herkömmlicher Weise über Gelenkarme und dergl. (nicht gezeigt) ein Handstück 2 angeschlossen ist, mit dem ein therapeutischer Laserstrahl 3 auf die zu behandelnde Stelle 4 an einem Zahn 5 gerichtet wird. Die Behandlungsstelle 4 kann auch im Bereich des Zahnfleisches 6 liegen, wenn dort eine Blutung durch Koagulieren von Eiweiß gestoppt werden soll.

Der Laserstrahl 3 wird von der Laservorrichtung 1 dem Handstück 2 über in Fig. 1 in nicht näher dargestellte Lichtleiter (vgl. auch Pos. 22 in Fig. 2) zugeführt, wie dies an sich bekannt ist.

Die Laservorrichtung 1 weist einen Fußschalter 7 auf, der beispielsweise drei Stellungen, entsprechend drei Betriebsarten der Laservorrichtung 1, hat, nämlich für (1) Koagulieren (Betriebsart C); (2) Abtragen (Betriebsart A); und (3) Oberflächenversiegeln (Betriebsart S).

In Fig. 2 ist die Laservorrichtung 1 hinsichtlich ihrer optischen Komponenten näher veranschaulicht. Die Laservorrichtung 1 ist dabei auf Basis eines All-in-one-Lasers aufgebaut, d.h. sie fungiert als Oszillator und als Verstärker, wobei ein einzelner Resonator 8 für die Erzeugung des Laserstrahls 9 im Resonator 8 in der jeweiligen Betriebsart vorgesehen ist.

Im Einzelnen sind zwei Resonator-Endspiegel 10, 11 vorgesehen, zwischen denen sich der Laserstrahl 9 im Resonator 8 der Laservorrichtung 1 aufbaut. Im Resonator 8 ist eine Pumpeinheit

12 mit einem z.B. Dioden-gepumpten Laserkristall 13 enthalten, welche nur schematisch angedeutet und an sich bekannt ist; diese Pumpeinheit 12 ist zwischen zwei Laserspiegeln 14, 15 (in der Art einer Z-Faltung) angeordnet. Benachbart dem einen Endspiegel 10 ist weiters ein aktiver Modenkoppler 16, beispielsweise ein akusto-optischer Modulator, angeordnet, der eine aktive Modenverkopplung bewirkt, wenn eine entsprechende Ansteuerung erfolgt, wie dies nachstehend noch näher anhand der Fig. 3 bis 6 erläutert werden wird.

Im Weg des Laserstrahls 9 ist weiters benachbart dem anderen Endspiegel 11 des Resonators 8 ein optischer Schalter, hier in Form einer Pockelszelle 17, vorgesehen, wobei mit diesem optischen Schalter bzw. mit dieser Pockelszelle 17 in den Kurzpuls-Betriebsarten A, S Verluste in die Laserstrahlung eingeführt werden. Diese Funktion als optisches Verlustelement 17' wird mit der Pockelszelle 17 bzw. allgemein dem optischen Schalter dadurch erreicht, dass der Laserstrahl 9 in unterschiedlichem Ausmaß ausgekoppelt wird, s. den Laserstrahl 3, wobei der Grad der Auskopplung hier über die Drehung der Polarisationsebene des Laserstrahls 9 und demzufolge die Anteile des Laserstrahls 9, die an einem polarisationsabhängigen Strahlteiler 18 durchgelassen bzw. reflektiert werden, gesteuert wird. Die Pockelszelle 17 wird demgemäß in an sich bekannter Weise selektiv als Polarisationsdreher eingesetzt, und zum Auskoppeln der Laserstrahlung über den Strahlteiler 18 bei entsprechender Drehung der Polarisationsebene des Laserstrahls 9 ist weiters im Strahlengang des Laserstrahls 9 ein  $\lambda/4$ -Plättchen 19 vorgesehen, das eine entsprechende Drehung der Polarisationsebene des Laserstrahls 9 (insgesamt  $90^\circ$  am  $\lambda/4$ -Plättchen 19 bei einem Hin- und Rücklauf des Laserstrahls 9) bewirkt. Zwecks - teilweiser - Auskopplung des Laserstrahls 9 am Strahlteiler 18 zu einem Spiegel 20 hin wird die Pockelszelle 17 entsprechend angesteuert, um durch die dann an ihr bewirkte Drehung der Polarisationsebene des Laserstrahls 9 (zusätzlich zur Drehung durch das  $\lambda/4$ -Plättchen 19) den Laserstrahl 9 am Strahlteiler 18 mehr oder weniger stark zur Reflexion zu bringen, wie nachstehend anhand der Fig. 4 und 5 noch näher erläutert wird. Auf diese Weise ist eine in Fig. 2 allgemein mit 21 bezeichnete Auskopplungseinheit realisiert.

Der ausgekoppelte Laserstrahl 3 wird dem Handstück 2 über einen Lichtleiter 22 sowie über zwei Gitter 23, 24 zugeführt,

welche ein Komprimieren der Laserpulse bewirken. Im Strahlengang nach diesen beiden Gittern 23, 24 können noch optische Elemente 25 zum Vorsehen eines sichtbaren Pilotstrahls und/oder einer steuerbaren Abschwächung vorgesehen sein, wie dies nachfolgend anhand der Fig. 9 und 10 noch weiter erläutert wird.

In Fig. 3 sind die vorstehend erwähnten Laserkomponenten in einem gegenüber Fig. 2 etwas vereinfachten Schema gezeigt, und zusätzlich sind die zugehörigen elektronischen Komponenten in der Art eines Blockschaltbildes veranschaulicht. Dabei wurden auch die Positionen des  $\lambda/4$ -Plättchens 19 und der Pockelszelle 17 vertauscht, um zu zeigen, dass die relative Position dieser zwei Komponenten 19, 27 nicht weiter von Bedeutung ist, um die gewünschte Auskopplung des Laserstrahls zum vorgegebenen Zeitpunkt zu erzielen.

Die verschiedenen Komponenten, wie insbesondere der Modenkoppler 16 und die Pockelszelle 17, werden elektronisch von einer Steuereinheit 26 einer elektrischen Steuerschaltung 27 angesteuert, die mit dem Fußschalter 7 für die Wahl der jeweiligen Betriebsart (Koagulieren; Abtragen; Versiegeln) über eine Eingangs- oder Steuerleitung 28 verbunden ist. Die Steuereinheit 26 gibt dann ein entsprechendes Steuersignal über einen Ausgang 29 an einen HF-Generator 30 ab, welcher entweder kein Signal oder eines von zwei HF-Signalen, mit unterschiedlichen Leistungspegeln  $P_1$  bzw.  $P_2$  (s. Fig. 4a), über eine Leitung 31 an den Modenkoppler 16 abgibt. Diese beiden Leistungspegel  $P_1$ ,  $P_2$  sind im Diagramm von Fig. 4a schematisch gezeigt, wobei das HF-Signal mit der höheren Leistung  $P_{HF}=P_2$  in der Betriebsart "Abtragen" abgegeben wird, wogegen das HF-Signal mit der etwas niedrigeren Leistung  $P_1$  in der Betriebsart "Oberflächenversiegeln" abgegeben wird. In der CW-Betriebsart "Koagulieren" wird kein HF-Signal an den Modenkoppler 16 angelegt, d.h.  $P_{HF}=0$ . Im unteren Teil von Fig. 4 sind die Betriebsarten "Koagulieren" bei C, "Abtragen" bei A und "Oberflächenversiegeln" bei S veranschaulicht. Der HF-Generator 30 kann dazu eine entsprechende Umschaltmöglichkeit bzw. Ansteuerungsmöglichkeit im Bereich seiner Endstufe (in Fig. 3 nicht gezeigt), wie an sich herkömmlich, aufweisen, und dies ist in Fig. 5 veranschaulicht, wobei der eigentlichen HF-Generatorschaltung 32 ein regelbarer Leistungsverstärker 33 nachgeschaltet ist, der je nach dem Steuersignal am Eingang (Leitung 29) ein HF-Signal mit der Leistung  $P_2$  oder mit der Leistung  $P_1$  oder kein HF-Signal an den

Modenkoppler (Modelocker) 16 abgibt.

Das HF-Signal, das vom HF-Generator 30 abgegeben wird, hat in den beiden Kurzpuls-Betriebsarten A, S die selbe Frequenz, z.B. 75 MHz oder 80 MHz, je nach der Länge des Resonators 8, d.h. je nach der Weglänge der Laserpulse zwischen den Endspiegeln 10, 11.

Gemäß Fig. 3 und 5 erhält die Steuereinheit 26 weiters vom HF-Generator 30 ein Signal betreffend Phaseninformation auf einer Leitung 34 zugeführt, wie nachfolgend noch näher beschrieben wird.

Die Steuereinheit 26 steuert weiters über "Aus"- bzw. "Ein"-Steuerleitungen 35 bzw. 36 (s. Fig. 3) die Pockelszelle 17 an, und über eine Leitung 37 wird der Pockelszelle 17 die erforderliche Hochspannung  $U_{pc}$ , z.B. die sog.  $\lambda/4$ -Spannung  $U_{\lambda/4}$  für eine Drehung der Polarisationssebene des Laserstrahls 9 um  $90^\circ$  bei jedem Hin- und Rücklauf, angelegt, vgl. auch Fig. 4b, um die gewünschten verstärkten Kurzpulse in der All-in-one-Laservorrichtung 1 während des Betriebs als Verstärker zu erzeugen, vgl. auch die nachfolgenden Ausführungen anhand der Fig. 5 und 6.

Die Steuereinheit 26 sorgt ferner über eine Leitung 38 zur Pumpeinheit 12 mit der Diode 13 noch dafür, dass die Diode 13 den benötigten Diodenstrom erhält, wie dies an sich bekannt ist. Weiters kann die Steuereinheit 26 dazu eingesetzt werden, den einen Resonator-Endspiegel 11 über eine Steuerleitung 39 zu justieren, um so die Resonatorlänge exakt einzustellen.

Über einen Eingang 40 können der Steuereinheit 26 Zeitsteuerparameter sowie Vorgaben hinsichtlich der Repetitionsrate (Pulswiederholungsfrequenz  $f_{rep}$ ) zugeführt werden.

Im Betrieb wird in der Betriebsart C "Koagulieren" der Modenkoppler 16 abgeschaltet, d.h. es wird ihm kein HF-Signal vom HF-Generator 30 zugeführt. Das Lasersystem arbeitet im Niederleistungsbereich, wobei ein CW-Laserstrahl 9 erzeugt wird, welcher einen Anteil hat, der entsprechend dem polarisierenden Strahlteiler 18 in der Zeichenebene von Fig. 2 linear polarisiert ist. An die Pockelszelle 17 wird dabei eine Spannung  $U_{pc} = U_c$  (s. Fig. 4) angelegt, die zwischen 0 V und der  $\lambda/4$ -Spannung  $U_{\lambda/4}$  liegt. Hierbei fungiert der polarisierende Strahlteiler 18 als teilweise reflektierender Auskoppler, wobei je nach der Größe der Spannung  $U_c$  und damit je nach Größe der Drehung der Polarisationssebene des

Laserstrahl 9 durch die Pockelszelle 17 in Verbindung mit der Polarisationsdrehung durch das  $\lambda/4$ -Plättchen 19 z.B. 20% der Laserstrahlung ausgekoppelt werden. Der Laserstrahl 9 wird im Einzelnen vom Strahlteiler 18 durchgelassen, wenn er von der Pumpeinheit 12 kommt, und er wird auf dem Weg vom Endspiegel 11 zurück teilweise vom Strahlteiler 18 reflektiert. Die CW-Leistung wird, wie sich aus Vorstehendem ergibt, durch entsprechende Wahl der an die Pockelszelle 17 angelegten Spannung  $U_{pc} = U_c$  - entsprechend dem Grad der Auskopplung - eingestellt. Wie bereits erwähnt beträgt in dieser Betriebsart C "Koagulieren" die Leistung zweckmäßigerweise bis zu 3 W. Der ausgekoppelte Laserstrahl 3 wird in dieser Betriebsart C in einem festen Fokus an der Behandlungsstelle (4 in Fig. 1) fokussiert.

In den Kurzpuls-Betriebsarten A und S (Abtragen, Versiegeln) wird der Modenkoppler 16 der Laservorrichtung 1 aktiviert, wobei wie dargelegt ein HF-Signal mit einer bestimmten Leistung, je nach Betriebsart (A bzw. S), von der Steuerschaltung 27 bzw. genauer von deren HF-Generator 30 an den Modenkoppler 16 angelegt wird, um Kurzpulse mit einer Dauer von beispielsweise ungefähr 1 ps (Betriebsart A "Abtragen") bzw. ungefähr 100 ps (Betriebsart S "Versiegeln"), in Entsprechung zur angelegten HF-Leistung,  $P_2$  bzw.  $P_1$  zu erzeugen.

Aus der Reihe von Kurzpulsen, die mit der Frequenz des HF-Signals erzeugt werden, werden in der Verstärkungsphase der Laservorrichtung 1 einzelne Pulse selektiert und beim mehrmaligen Durchlaufen des Resonators 8 verstärkt, wie dies an sich bekannt ist.

Im Einzelnen werden dabei in dieser Betriebsart der Laservorrichtung 1 in einer ersten Phase Verluste dadurch eingeführt, dass ein größerer Anteil der Laserstrahlung, z.B. 50-60%, aus dem Resonator 8 durch Anlegen einer entsprechenden Spannung an die Pockelszelle 17 ausgekoppelt werden. Dadurch wird, um diese Verluste zu kompensieren, eine hohe Verstärkung im Laserkristall 13 der Pumpeinheit 12 erzwungen. Die ausgekoppelte Laserstrahlung ist am Handstück 2 bloß als ein unwesentlicher Hintergrund mit geringer Energie anzusehen.

Sobald eine Sättigung erreicht wird, wird an die Pockelszelle 17 die  $\lambda/4$ -Spannung  $U_{\lambda/4}$  angelegt, und zwar zu einem Zeitpunkt, in dem sich der Laserimpuls im Resonator 8 gemäß Fig. 2 rechts von der Pockelszelle 17 befindet, etwa wenn er im Bereich

des Modenkopplers 16 vorliegt. Dadurch wird beim nachfolgenden Durchlauf des Laserpulses hin zum Endspiegel 11 und zurück zweimal eine  $\lambda/2$ -Drehung der Polarisationssebene insgesamt erreicht, so dass keine Auskopplung des Laserstrahls 9 mehr erfolgt. Die Verstärkung in der Pumpeinheit 12 ist zu diesem Zeitpunkt jedoch hoch, und der Laserpuls schaukelt sich in 20 bis 30 Durchläufen, was seine Energie anlangt, auf, wobei aber gleichzeitig die Verstärkung in der Pumpeinheit 12 allmählich abgebaut wird, um einen stationären Zustand zu erreichen. Bei Sättigung wird die Pockelszelle 17 ausgeschaltet, d.h. keine Hochspannung  $U_{pc}$  mehr an sie angelegt, und zufolge der Polarisationssebenen-Drehung nur im  $\lambda/4$ -Plättchen 19 wird jetzt eine praktisch 100%ige Auskopplung des Laserstrahls 9 am Strahlteiler 18 bewirkt; der ausgekoppelte Laserpuls 3 wird dem Handstück 2 zugeführt. Auch hier gilt wiederum, dass die Pockelszelle 17 zu dem Zeitpunkt ausgeschaltet wird, wenn der Laserpuls in der Darstellung in Fig. 2 rechts von ihr im Resonator 8 vorliegt.

Eine entsprechende Information über den Ort des Laserpulses (Phaseninformation) kann aus dem Modenkoppler-Signal hergeleitet werden, da beispielsweise im Maximum des HF-Signals, das an den Modenkoppler 16 angelegt wird, der Laserimpuls im Modenkoppler 16 vorliegt. Diese Phaseninformation betreffend die Position des Laserpulses wird wie erwähnt über die Leitung 34 vom HF-Generator 30 an die Steuereinheit 26 geliefert.

In Fig. 5 ist ein Beispiel für die Herleitung von Schaltimpulsen, die über die Leitungen 35 ("EIN") und 36 ("AUS") an die Pockelszelle 17 - zusätzlich zur jeweiligen Hochspannung  $U_{pc}$  über die Leitung 37 - von der Steuereinheit 26 abgegeben werden, näher veranschaulicht. Dabei ist ersichtlich, dass das vom HF-Generatorkreis 32 abgegebene HF-Signal  $S_1$  mit der Frequenz  $f_1$  noch vor dessen Verstärkung im Leistungsverstärker 33 abgezweigt und parallel zum Leistungsverstärker 33 auch als Phaseninformationssignal über die Leitung 34 der Steuereinheit 26 zugeführt wird, die in Fig. 5 mit strichlierten Linien veranschaulicht ist.

In der Steuereinheit 26 wird das HF-Signal  $S_1$  (s. auch Fig. 6a) einer Impulsformerstufe 41 zugeführt, so dass ein Impulssignal  $S_2$  (s. Fig. 6b) mit Rechteckimpulsen erhalten wird, das an einen einstellbaren Frequenzteiler 42 angelegt wird, der mit einem die Wiederholungsfrequenz  $f_{rep}$  aufweisenden Signal (über die Leitung 40, s. auch Fig. 3) eingestellt wird. Das Signal  $S_3$

am Ausgang dieses Frequenzteilers 42 (s. Fig. 6c) hat demgemäß eine Periode  $T_R = 1/f_{rep}$ , im Gegensatz zur Periode  $T_1 = 1/f_1$  des HF-Signals  $S_1$  bzw. Impulssignals  $S_2$ . Das Impulssignal  $S_3$  wird dann an eine monostabile Kippstufe 43 angelegt, die Impulse mit einer vorgegebenen, einstellbaren Impulsdauer  $T_P$  erzeugt. Dieser Impuls, d.h. das Signal  $S_4$  (das in Fig. 6d dargestellt ist), wird sodann an zwei zueinander parallel geschaltete Verzögerungsglieder 44 bzw. 45 angelegt, wo eine jeweils einstellbare Zeitverzögerung  $\tau_1$  (Verzögerungsglied 44) bzw.  $\tau_2 > \tau_1$  (Verzögerungsglied 45) eingeführt wird. Die so verzögerten Impulse  $S_4$  werden in den Kurzpuls-Betriebsarten A bzw. S über in Fig. 5 schematisch dargestellte Schalter 46 bzw. 47 - die mit Hilfe des Fußschalters 7 über die Leitung 28 eingestellt werden - als EIN-Schaltsignal  $S_{ON}$  bzw. AUS-Schaltsignal  $S_{OFF}$  für die Pockelszelle 17 erhalten. In der Betriebsart C (Koagulieren) werden die Schalter 46, 47 in die andere Schaltposition gebracht, so dass an den Ausgängen Massepotential liegt.

Im linken Teil der Fig. 5 ist die Pockelszelle 17 mit dem Pockelszellen-Kristall 17PC gezeigt, welcher mit seinen beiden Anschlüssen an jeweils einem Schalter 48 bzw. 49 liegt: diesen Schaltern 48, 49 ist jeweils ein Kondensator 50 bzw. 51 parallel geschaltet. Der Schalter 48 wird dabei geschlossen, wenn das EIN-Schaltsignal  $S_{ON}$  (s. Fig. 6e) hoch ist ("1"); dagegen wird der Schalter 49 geschlossen, wenn das AUS-Schaltsignal  $S_{OFF}$  ("1") anliegt, d.h. hoch ist (s. Fig. 6f). Diese Schaltsignale werden wie erwähnt über die Leitungen 35 bzw. 36 in Fig. 3 zugeführt und liegen an den Schaltern 46, 47 der Steuereinheit 26 an.

Innerhalb der Steuereinheit 26 liegen weiters drei Gleichspannungen vor, nämlich die  $\lambda/4$ -Spannung  $U_{\lambda/4}$ , die demgegenüber etwas kleinere Gleichspannung  $U_c$  für die Betriebsart Koagulieren (Betriebsart C) und eine Spannung  $U_1$ , die ebenfalls kleiner als die  $\lambda/4$ -Spannung  $U_{\lambda/4}$  ist, vgl. außer Fig. 5 auch Fig. 4b. Weiters liegt ein Anschluss mit Masse vor, mit dem die in Fig. 5 linke Seite der Pockelszelle 17 in der Betriebsart C (Koagulieren) verbunden ist. Die rechte Seite der Pockelszelle 17 liegt in dieser Betriebsart C an der Spannung  $U_c$ . Zur Umschaltung auf die Kurzpuls-Betriebsarten A, S werden Schalter 52, 53 angesteuert, die in Fig. 5 nur schematisch dargestellt sind und in herkömmlicher Weise durch elektronische Schalter realisiert sein werden. Die Ansteuerung erfolgt dabei wiederum vom Fußschalter 7 her über

die Steuerleitung 28, s. Fig. 3. In den Kurzpuls-Betriebsarten A, S liegt die rechte Seite der Pockelszelle 17 (gemäß Darstellung in Fig. 5) an der  $\lambda/4$ -Spannung  $U_{\lambda/4}$ , wogegen die linke Seite über den Schalter 52 an die Spannung  $U_1$  gelegt ist. Die beiden Spannungen  $U_1$  und  $U_{\lambda/4}$  werden dabei über Widerstände 54 bzw. 55 angelegt.

Wenn nun der Schalter 48 (der ebenso wie der Schalter 49 und auch wie die Schalter 46, 47 selbstverständlich durch elektronische Schalter realisiert sein kann) bei Anlegen des EIN-Schaltsignals  $S_{ON}$  (wenn also der Impuls  $S_{ON}$  gemäß Fig. 6e auf "1" liegt), geschlossen wird, so liegt der Stromfluss durch den Pockelszellen-Kristall 17PC vom Anschluss  $U_{\lambda/4}$  über den Widerstand 55, dem Pockelszellen-Kristall 17PC zu Masse vor. Wenn dann nach der Zeitdauer  $\tau_2 - \tau_1$  (s. Fig. 6d, 6e und 6f) das AUS-Schaltsignal  $S_{OFF}$  auf "1" geht, wird der Schalter 49 geschlossen, so dass beide Seiten des Pockelszellen-Kristalls 17PC über die Schalter 48, 49 an Masse liegen. Ein Stromfluss erfolgt dann von den Klemmen, die die Spannung  $U_1$  bzw.  $U_{\lambda/4}$  führen, über die Schalter 52 bzw. 53 und die Vorwiderstände 54 bzw. 55 jeweils zu Masse, ohne dass der Pockelszellen-Kristall 17PC aktiviert wird. Dadurch erfolgt zu diesem Zeitpunkt keine Drehung der Polarisationssebene des Laserstrahls 9 im Resonator 8 durch die Pockelszelle 17, sondern nur wie erwähnt durch das  $\lambda/4$ -Plättchen 19.

Wenn dann zum Zeitpunkt  $\tau_1 + T_P$  (s. Fig. 6e) das EIN-Schaltsignal  $S_{ON}$  wieder auf "0" geht, s. Fig. 6e, wird der Schalter 48 wieder geöffnet, während der Schalter 49 für die restliche Zeit, in der das AUS-Schaltsignal  $S_{OFF}$  auf "1" ist, noch geschlossen bleibt. Während dieser Zeitdauer liegt daher ein Stromfluss von der die Spannung  $U_1$  führenden Klemme über den Schalter 52, den Widerstand 54 und den Pockelszellen-Kristall 17PC sowie den geschlossenen Schalter 49 zu Masse vor, d.h. der Laserstrahl 9 wird in seiner Polarisationssebene entsprechend der angelegten Pockelszellen-Spannung  $U_{EC} = U_1$  gedreht, und es werden wiederum Verluste im Laserresonator 8 eingeführt. Wenn das AUS-Schaltsignal  $S_{OFF}$  dann ebenfalls auf "0" geht (Zeitpunkt  $\tau_2 + T_P$  gemäß der Darstellung in Fig. 6f), wird auch der Schalter 49 in Fig. 5 geöffnet, und die Pockelszelle 17 liegt dann über die Schalter 52, 53 und die Widerstände 54, 55 an der Differenzspannung  $U_{\lambda/4} - U_1$ . Dementsprechend wird auch während dieser Zeitdauer - bis zum nächsten Einschaltsignal  $S_{ON} = "1"$  - an die Pockelszelle 17 eine



Spannung ( $U_{\lambda/4} - U_1$ ) angelegt, die eine entsprechende Drehung der Polarisationssebene des Laserstrahls 9 und damit Auskopplung des Laserstrahls 9 über den Strahlenteiler 18 bewirkt. Dieser Vorgang ist in Fig. 4b nur während einer Verstärkungsperiode schematisch veranschaulicht, während die übrigen Perioden vereinfacht dargestellt sind.

Wie erwähnt wird während der in Fig. 4b dargestellten Zeiten, wo  $U_{\lambda/4}$  an der Pockelszelle 17 anliegt (Zeitintervall  $\tau_2 - \tau_1$ ), eine Auskopplung des Laserstrahls 9 verhindert, und während dieser Zeit wird wie erwähnt der Laserpuls im Resonator 8 in 20 bis 30 Durchläufen beträchtlich verstärkt; dies ist auch aus Fig. 7 ersichtlich, in der diese Zunahme der Pulsenergie in der linken Hälfte des Diagramms gezeigt ist, wobei dort die Intensität  $I_{rel}$  über der Zeit aufgetragen ist. Die Dauer  $\tau_2 - \tau_1$  ist durch die Zeit vorgegeben, bei der die Sättigung der Verstärkung auftritt.

Wenn dann die Spannung an der Pockelszelle 17 auf "0" geht, wird der Laserimpuls zu praktisch 100% aus dem Resonator 8 ausgekoppelt und dem Handstück 2 zugeführt.

Das Spektrum des ausgekoppelten, auf eine hohe Spitzenleistung verstärkten Laserimpulses wird durch Selbstphasenmodulation in der Lichtleiter-Leitung 22 verbreitert, um die Pulsdauer zu verkürzen. Die zwei Gitter 23, 24 (oder Spiegel, Prismen, s. Fig. 2) komprimieren den Impuls auf die gewünschte Dauer ( $< 1$  ps im Fall der Betriebsart A).

Im Handstück 2 kann auf nicht näher dargestellte, keinen Teil der vorliegenden Erfindung bildende Weise eine rasche Bewegung des Laser-Fokus zwecks Vermeidung einer Überhitzung an der Behandlungsstelle 4 vorgesehen werden. In der Betriebsart S ("Oberflächenversiegelung") wird an den Modenkoppler 16 ein HF-Signal mit einer kleineren Leistung  $P_1$  als in der Betriebsart A ("Abtragen") angelegt, in der die Leistung  $P_2 > P_1$  vorgesehen wird. Auf diese Weise wird in der Betriebsart S eine größere Impulsdauer der Laserpulse als in der Betriebsart A erhalten. Durch entsprechende Einstellung der Leistung  $P_{HF} = P_1$  des HF-Signals kann in der Betriebsart S eine Impulsdauer von ca. 100 ps erreicht werden, wogegen in der Betriebsart A wie erwähnt die Impulsdauer in der Größenordnung von 1 ps und darunter beträgt.

In Fig. 8 ist schematisch in einem Diagramm die Spitzenleistung  $P(W)$  über der Einwirkzeit  $t(s)$  in den drei Betriebsarten

A, S und C schematisch veranschaulicht. Dabei ist ersichtlich, dass die Spitzenleistung in der Betriebsart A "Abtragen" am höchsten ist, etwa in der Größenordnung von  $3 \cdot 10^8$  W. Bei einer Impulsdauer  $< 1$  ps bedeutet dies die Aufbringung einer Impulsenergie von ca. 300  $\mu$ J. In der Betriebsart S "Oberflächenversiegelung" wird eine Impulsenergie von 300  $\mu$ J bei einer Impulsdauer von ungefähr 100 ps - entsprechend einer Spitzenleistung von  $3 \cdot 10^6$  W - aufgebracht.

In der Niederleistungs-Betriebsart C "Koagulieren" wird eine CW-Leistung von ungefähr 3 W während einiger weniger Sekunden aufgebracht.

Zwischen den drei Betriebsarten C, A und S kann mit Hilfe des Fußschalters 7 in komfortabler Weise umgeschaltet werden.

In vielen Anwendungen bei der Zahnbehandlung, ist das Vorsehen eines sichtbaren Pilot-Laserstrahls von Vorteil, da dann der ausgekoppelte Behandlungs-Laserstrahl 3 einfacher auf die richtige Behandlungsstelle 4 gerichtet werden kann. Zur Erzeugung des Pilot-Lasers kann vom therapeutischen Laser 3 durch Frequenzverdopplung ein sichtbarer Laserstrahl hergeleitet werden, oder aber es kann eine zusätzliche Laserquelle, z.B. eine herkömmliche Laserdiode, eingesetzt werden, deren sichtbarer Laserstrahl an einem Spiegel (s. das optische Element 25 in Fig. 2) eingekoppelt wird.

Mehr im Einzelnen wird der sichtbare Pilot-Laserstrahl bevorzugt aus dem Behandlungs-Laserstrahl 3 durch Frequenzverdopplung hergeleitet, wie dies in den Fig. 9 und 10 gezeigt ist. Die Laservorrichtung 1 (s. Fig. 2, 3) arbeitet bei einem fixen Arbeitspunkt und liefert ständig die optische Leistung  $P_{IR}$ . Ein kleiner Teil der im infraroten (z.B. bei 1064 nm) liegenden Ausgangsleistung wird nun mittels eines nichtlinearen Kristalls 60 frequenzverdoppelt und somit in den grünen Spektralbereich verschoben, vgl. den Hinweis auf " $P_{GR}$ " in den Fig. 9 und 10. Da nur etwa 1% der Strahlung konvertiert werden muss, um einen gut sichtbaren Pilotstrahl zu generieren, bleibt die Infrarot-(IR)-Ausgangsleistung  $P_{IR}$  praktisch unverändert.

Um ferner die IR-Leistung abschwächen zu können und dabei den Pilotstrahl nicht zu verändern, gibt es verschiedene Möglichkeiten. Gemäß Fig. 9 wird eine Scheibe 61 verwendet, die aus einzelnen Teilen 61.1, 61.2....61.n zusammengesetzt ist, und die senkrecht zum Strahlengang verschoben wird, vgl. Pfeil 62 in

Fig. 9. Die einzelnen Teile 61.1...61.n bestehen jeweils aus einem Substrat, das mit dielektrischen Multischichten beschichtet ist, deren Eigenschaften auf an sich bekannter Weise durch geeignete Wahl von Schichtdicken und Material über einen weiten Bereich frei eingestellt werden können. Alle Schichten haben gemeinsam, dass sie für die grüne Wellenlänge (z.B. 532 nm) hochtransparent sind; die Reflektivität  $R$  für den IR-Strahl wird jedoch von Schicht zu Schicht größer. Die Anzahl der Schichten bestimmt, wie fein die Leistung  $P_{IR}$  variiert werden kann. Beispielsweise können mit sechs Schichten folgende Abschwächungen (Faktor  $k$ ) vorgesehen werden:

Schicht 61.1:  $R=0$  ( $k=1$ )

Schicht 61.2:  $R=20\%$  ( $k=0,8$ )

Schicht 61.3:  $R=40\%$  ( $k=0,6$ )

Schicht 61.4:  $R=60\%$  ( $k=0,4$ )

Schicht 61.5:  $R=80\%$  ( $k=0,2$ )

Schicht 61.6:  $R=100\%$  ( $k=0$ )

Gemäß Fig. 10 wird ein Keil 63, der aus einem dotierten Filtermaterial besteht, senkrecht zum Strahl 3 verschoben, s. Pfeil 62. Das Filtermaterial wird so gewählt, dass der grüne Pilotstrahl kaum beeinflusst wird, der IR-Strahl jedoch je nach Dicke des Keils 63 entsprechend abgeschwächt wird (Abschwächungsfaktor  $k$ ). An der Spitze des Keils 63 wird somit nahezu die gesamte IR-Leistung transmittiert ( $k=1$ ); an der Basis nahezu komplett absorbiert ( $k=0$ ). Ein zweiter, undotierter Keil 64 korrigiert die dabei eingeführte Winkeldispersion.

## Patentansprüche:

1. Zwischen verschiedenen Betriebsarten umschaltbare Dentallaseranordnung, gekennzeichnet durch eine als Laser-Oszillator und als Laser-Verstärker betreibbare Laservorrichtung (1) (All-in-one-Laservorrichtung) mit einem Laserresonator (8), der eine Pumpeinheit (12) und einen aktiven Modenkoppler (16) sowie ein selektive Verluste im Resonator (8) einführendes optisches Verlustelement (17') aufweist, und mit einer Laserstrahl-Auskopplungseinheit (21), wobei der Modenkoppler (16) an eine Steuerschaltung (27) angeschaltet ist zum Umschalten zwischen einer zum Koagulieren von weichem Gewebe vorgesehenen CW-Betriebsart (C), in der der Modenkoppler (16) abgeschaltet ist, und zwei Kurzpuls-Betriebsarten (A, S), in denen von der Steuerschaltung (27) HF-Signale mit gleicher Frequenz, jedoch unterschiedlicher Leistung ( $P_1$ ,  $P_2$ ) an den Modenkoppler (16) gelegt sind, um Laserimpulse vorbestimmter Dauer zu erzeugen, wobei eine der zwei Kurzpuls-Betriebsarten (A) zum Abtragen von hartem Zahngewebe vorgesehen ist, wogegen die andere Kurzpuls-Betriebsart (S), in der die Laserstrahlung im Vergleich zur erstgenannten Kurzpuls-Betriebsart eine geringere Spitzenleistung aufweist, zum Oberflächenversiegeln von hartem Zahngewebe vorgesehen ist, und wobei ein Ausgang der Steuerschaltung (27) weiters an das ansteuerbare optische Verlustelement (17') zur Steuerung der Verluste im Resonator (8) in den Kurzpuls-Betriebsarten gelegt ist.
2. Dentallaseranordnung nach Anspruch 1, dadurch gekennzeichnet, dass das ansteuerbare optische Verlustelement durch einen den Grad der Auskopplung des Laserstrahls (9) steuernden optischen Schalter gebildet ist.
3. Dentallaseranordnung nach Anspruch 1 oder 2, dadurch gekennzeichnet, dass das ansteuerbare optische Verlustelement (17') durch eine Pockelszelle (17) in Verbindung mit einem  $\lambda/4$ -Plättchen (19) gebildet ist.
4. Dentallaseranordnung nach Anspruch 3, dadurch gekennzeichnet, dass die Steuerschaltung (27) zur Abgabe unterschiedlich hoher Spannungen an die Pockelszelle, je nach eingeschalteter Betriebsart, schaltbar ist.

5. Dentallaseranordnung nach Anspruch 4, dadurch gekennzeichnet, dass die Steuerschaltung (27) zur Abgabe gesonderter Spannung-EIN- und AUS-Schaltssignale ( $S_{ON}$ ,  $S_{OFF}$ ) an die Pockelszelle (17) eingerichtet ist.
6. Dentallaseranordnung nach Anspruch 5, dadurch gekennzeichnet, dass die EIN- und AUS-Schaltssignale ( $S_{ON}$ ,  $S_{OFF}$ ) in der Steuerschaltung (27) aus dem ihr zugeführten HF-Signal ( $S_1$ ) durch Frequenzteilung und mit Hilfe unterschiedlicher Verzögerungsglieder (44, 45) hergeleitet werden.
7. Dentallaseranordnung nach einem der Ansprüche 1 bis 6, dadurch gekennzeichnet, dass die Steuerschaltung (27) einen HF-Generator (28) mit einem regelbaren Leistungsverstärker (33) enthält.
8. Dentallaseranordnung nach einem der Ansprüche 1 bis 7, dadurch gekennzeichnet, dass die Steuerschaltung (26) an einen Betriebsarten-Wählschalter, z.B. einen Fußschalter (7), angeschlossen ist.
9. Dentallaseranordnung nach einem der Ansprüche 1 bis 8, dadurch gekennzeichnet, dass im Weg des ausgekoppelten Laserstrahls (3) ein die Frequenz eines Teils des Laserstrahls (3) verdoppelnder Frequenzverdoppler (60) zum Vorsehen eines sichtbaren Lichtstrahls vorgesehen ist.
10. Dentallaseranordnung nach einem der Ansprüche 1 bis 9, dadurch gekennzeichnet, dass im Weg des ausgekoppelten Laserstrahls (3) ein steuerbarer Abschwächer, z.B. eine Scheibe (61) mit Teilen (61.1 bis 61.n) unterschiedlicher Reflektivität oder ein aus Filtermaterial gebildeter Keil (63), angeordnet ist.

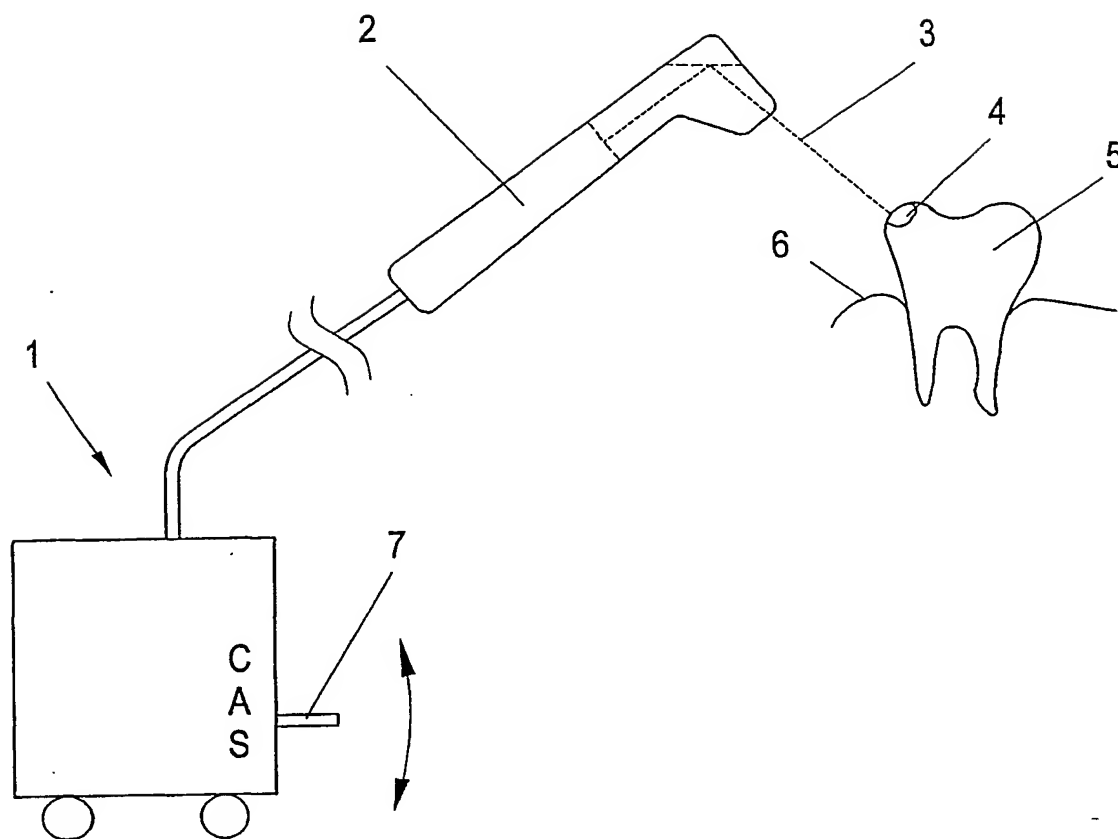
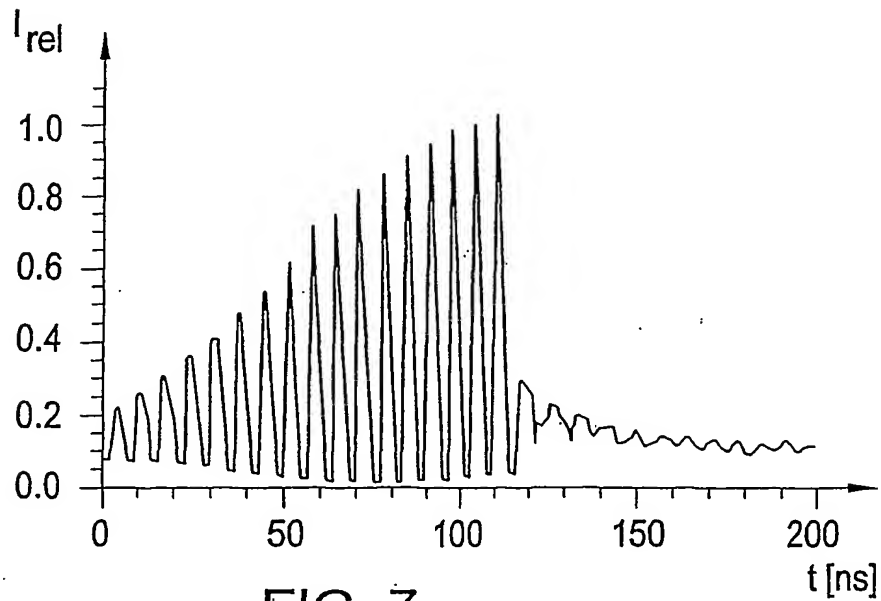
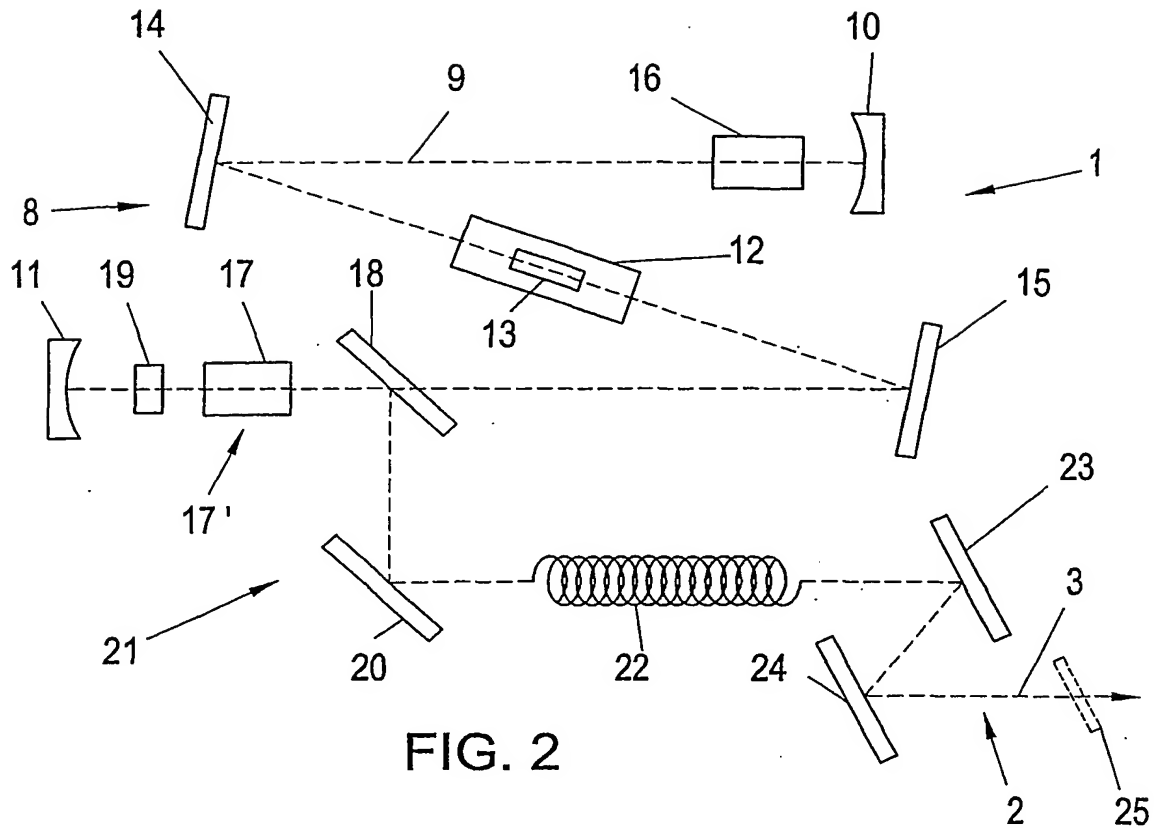


FIG. 1

2 / 8



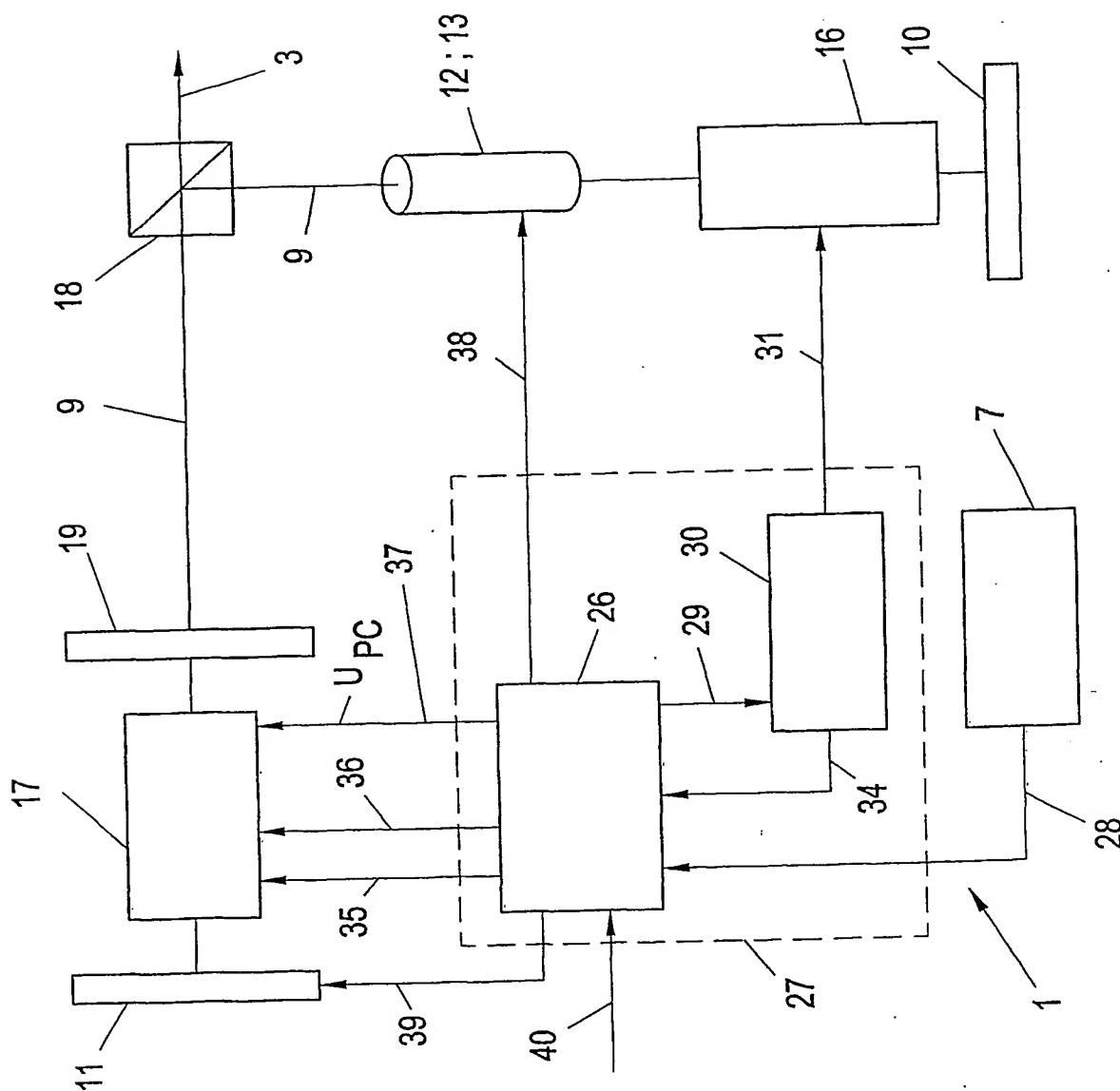


FIG. 3



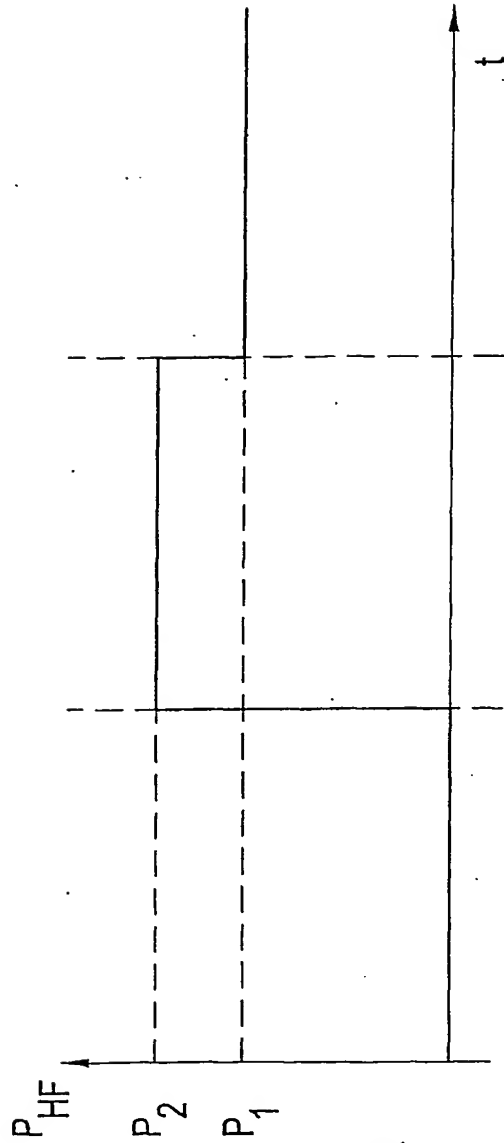


FIG. 4a

FIG. 4

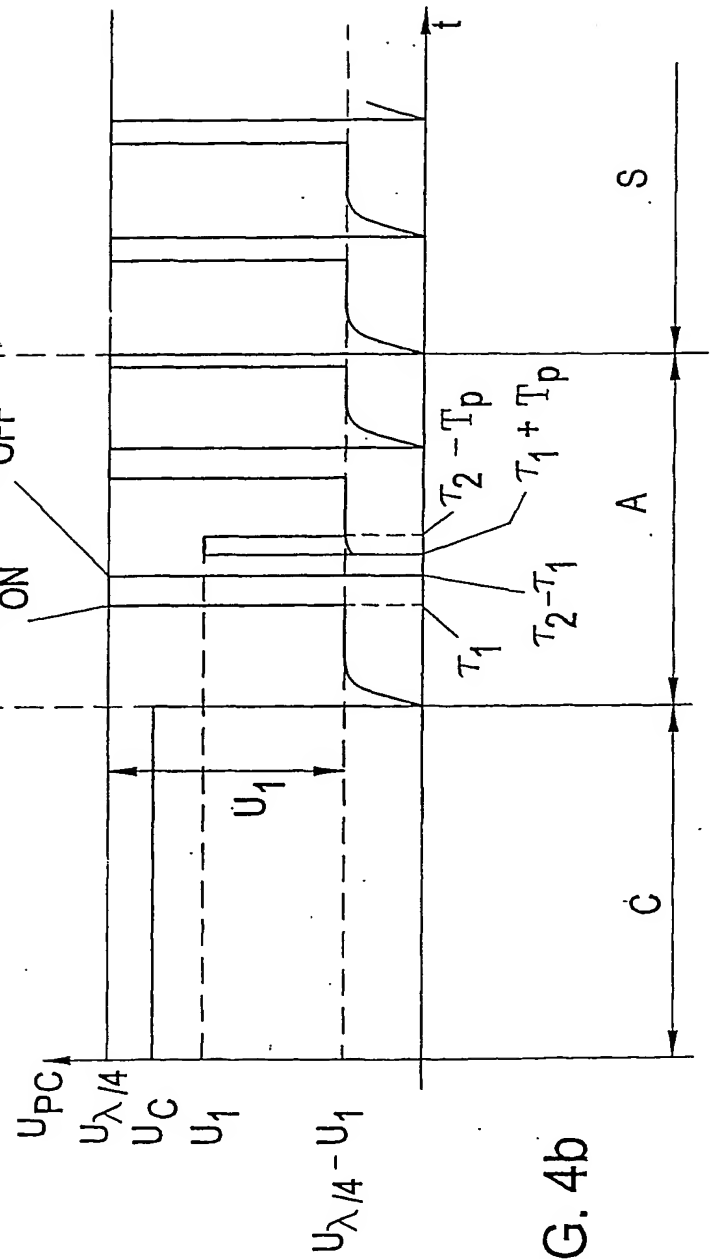


FIG. 4b

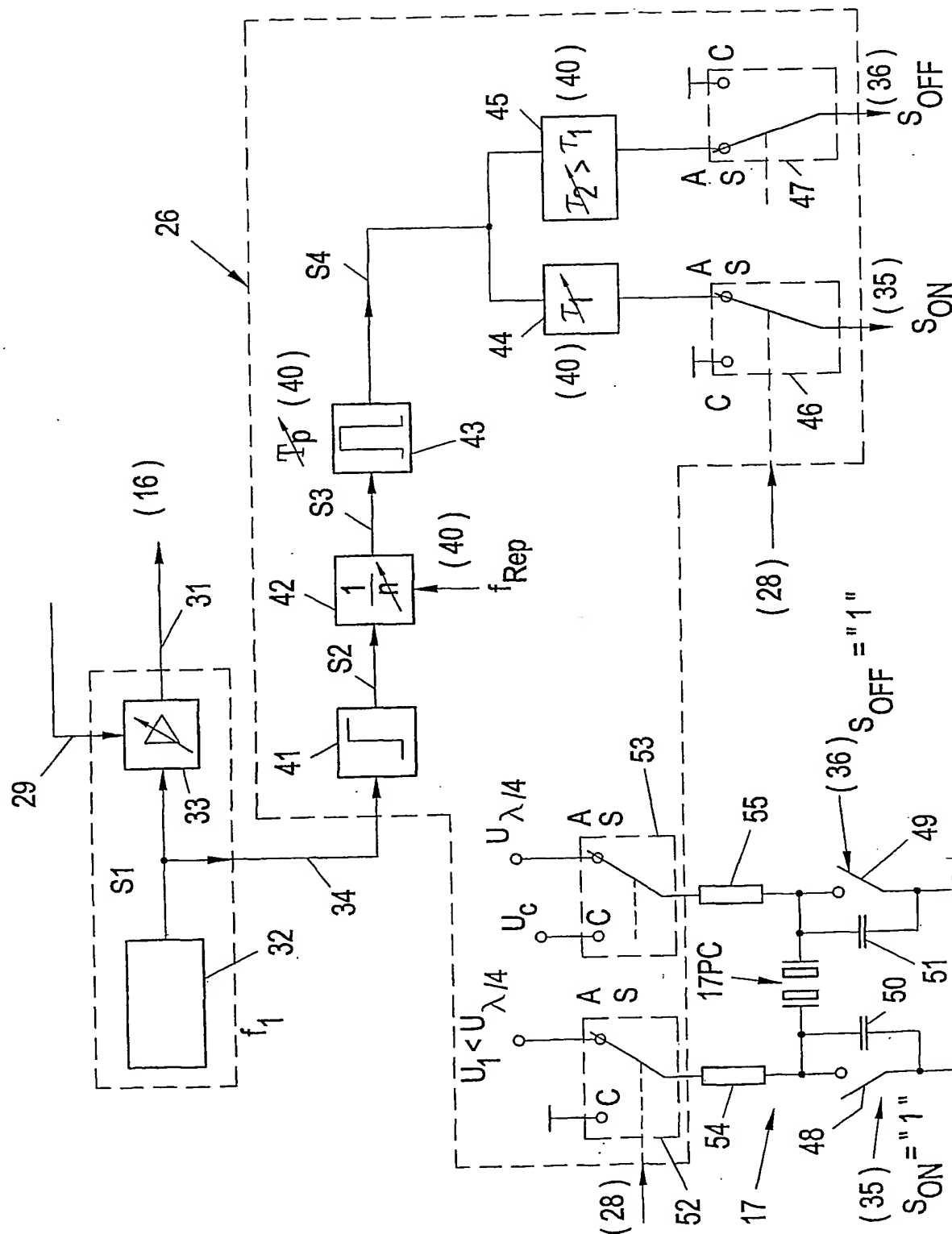


FIG. 5

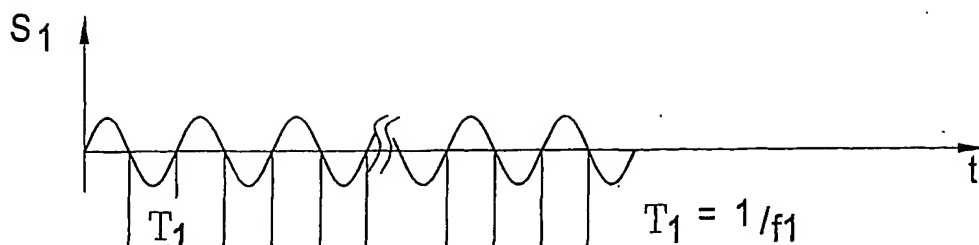


FIG. 6a

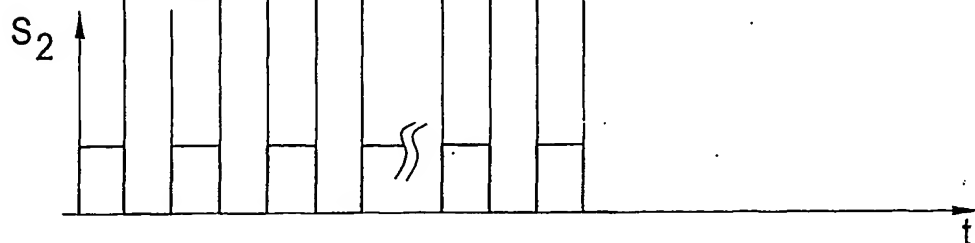


FIG. 6b

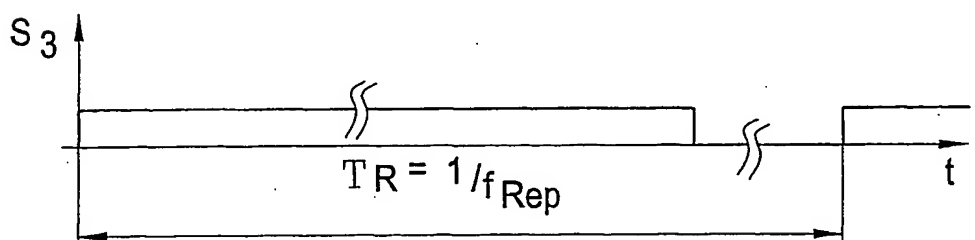


FIG. 6c

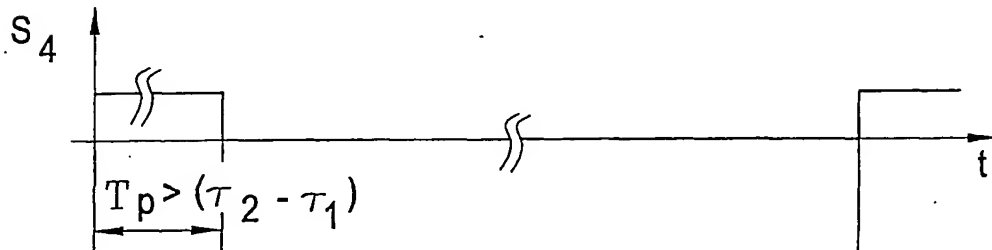


FIG. 6d

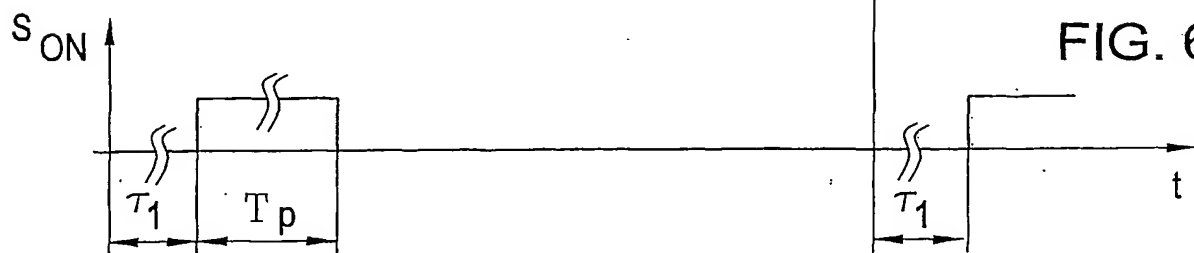


FIG. 6e

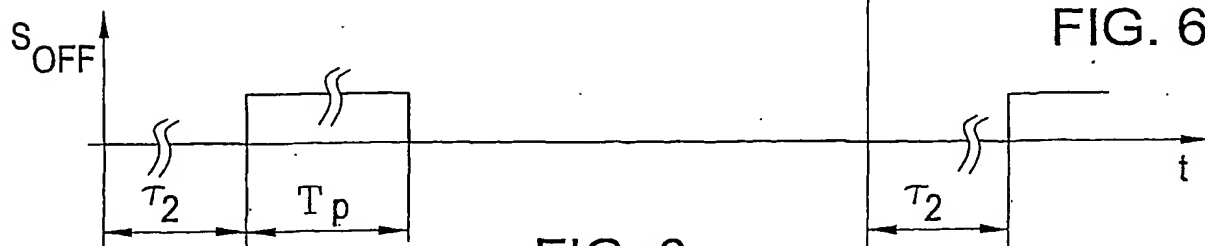


FIG. 6f

FIG. 6

7 / 8

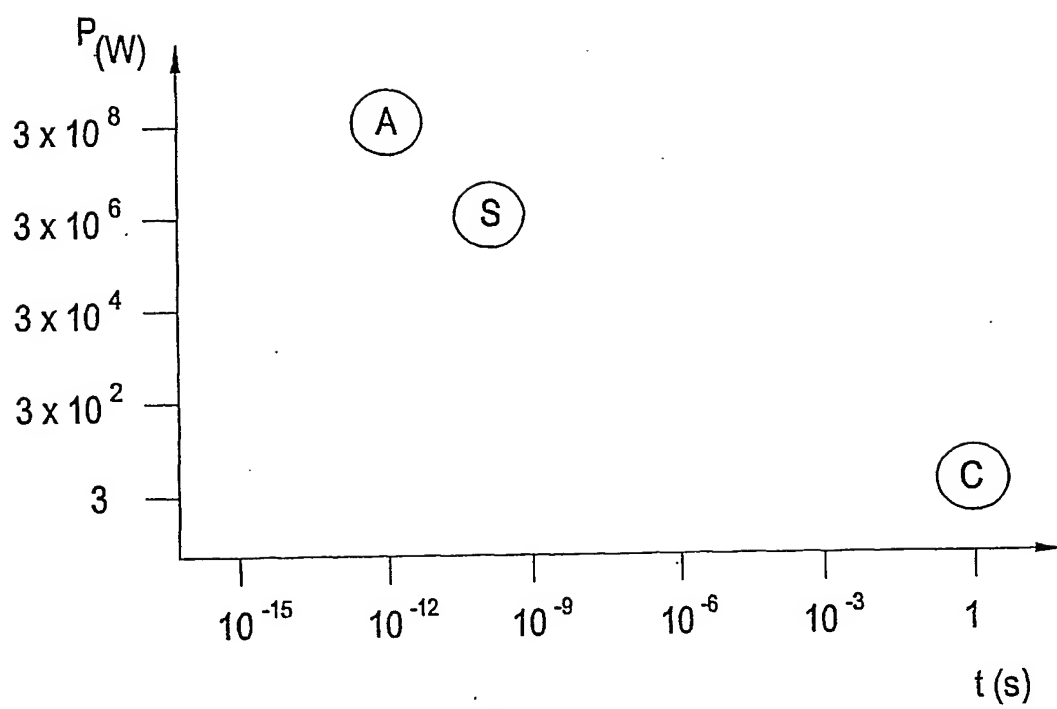


FIG. 8

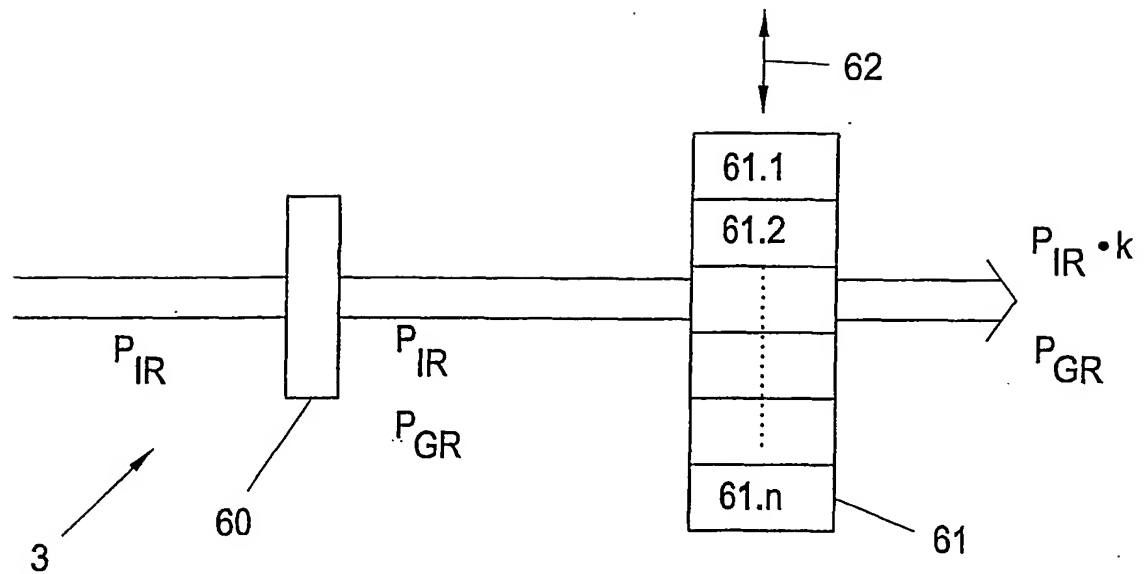


FIG. 9

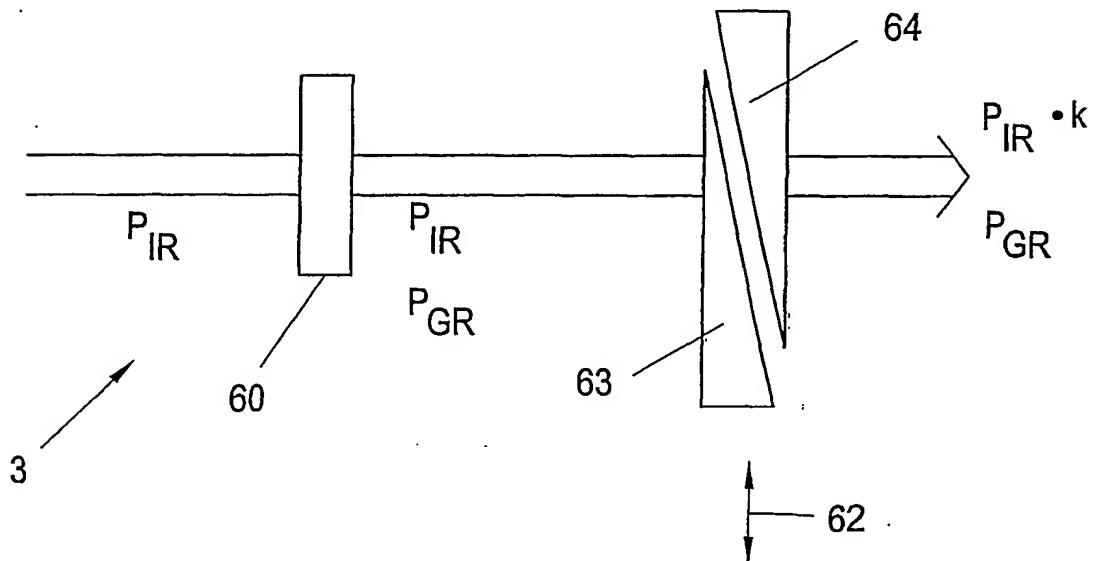


FIG. 10

## INTERNATIONAL SEARCH REPORT

Int ☐ National Application No

PCT/AT 01/00309

A. CLASSIFICATION OF SUBJECT MATTER  
IPC 7 A61C1/00

According to International Patent Classification (IPC) or to both national classification and IPC

## B. FIELDS SEARCHED

Minimum documentation searched (classification system followed by classification symbols)  
IPC 7 A61C A61B

Documentation searched other than minimum documentation to the extent that such documents are included in the fields searched

Electronic data base consulted during the international search (name of data base and, where practical, search terms used)  
EPO-Internal, PAJ, WPI Data

## C. DOCUMENTS CONSIDERED TO BE RELEVANT

Category *	Citation of document, with indication, where appropriate, of the relevant passages	Relevant to claim No.
Y	EP 0 514 898 A (LASAG AG) 25 November 1992 (1992-11-25) page 3, column 13-41 figure 1	1-4, 8-10
Y	EP 0 654 251 A (YOSHIDA SEISAKUSHO KK) 24 May 1995 (1995-05-24) column 3, line 1-3, 11-13 figure 1 --- -/-	1-4, 8-10

☒ Further documents are listed in the continuation of box C.☒ Patent family members are listed in annex.

## \* Special categories of cited documents:

- \*A\* document defining the general state of the art which is not considered to be of particular relevance
- \*E\* earlier document but published on or after the international filing date
- \*L\* document which may throw doubts on priority claim(s) or which is cited to establish the publication date of another citation or other special reason (as specified)
- \*O\* document referring to an oral disclosure, use, exhibition or other means
- \*P\* document published prior to the international filing date but later than the priority date claimed

- \*T\* later document published after the international filing date or priority date and not in conflict with the application but cited to understand the principle or theory underlying the invention
- \*X\* document of particular relevance; the claimed invention cannot be considered novel or cannot be considered to involve an inventive step when the document is taken alone
- \*Y\* document of particular relevance; the claimed invention cannot be considered to involve an inventive step when the document is combined with one or more other such documents, such combination being obvious to a person skilled in the art
- \* & \* document member of the same patent family

Date of the actual completion of the international search

22 January 2002

Date of mailing of the international search report

29/01/2002

Name and mailing address of the ISA  
European Patent Office, P.B. 5818 Patentlaan 2  
NL - 2280 HV Rijswijk  
Tel. (+31-70) 340-2040, Tx. 31 651 epo nl,  
Fax: (+31-70) 340-3016

Authorized officer

Chabus, H

## INTERNATIONAL SEARCH REPORT

Inte al Application No  
PCT/AT 01/00309

## C.(Continuation) DOCUMENTS CONSIDERED TO BE RELEVANT

Category *	Citation of document, with indication, where appropriate, of the relevant passages	Relevant to claim No.
A	DE 92 08 617 U (STEIGER ERWIN) 10 September 1992 (1992-09-10) page 1, line 4-10 page 2, line 9-24 page 4, column 1-29 page 5, line 12-19, 33-39 page 6, line 36 -page 7, line 3 page 7, column 16-18 figures 1-3 -----	1, 10
A	WO 92 04871 A (STEIGER ERWIN) 2 April 1992 (1992-04-02) page 2, line 38 -page 3, line 36 figures 1-3 -----	1
A	RUTI L ET AL: "DIODE-PUMPED ND:YLF ALL-IN-ONE LASER" OPTICS LETTERS, OPTICAL SOCIETY OF AMERICA, WASHINGTON, US, vol. 20, no. 14, 15 July 1995 (1995-07-15), pages 1541-1543, XP000514995 ISSN: 0146-9592 cited in the application the whole document -----	1, 3

## INTERNATIONAL SEARCH REPORT

Information on patent family members

Int'l Application No  
PCT/AT 01/00309

Patent document cited in search report		Publication date		Patent family member(s)	Publication date
EP 0514898	A	25-11-1992	FR	2676868 A1	27-11-1992
			EP	0514898 A1	25-11-1992
EP 0654251	A	24-05-1995	JP	2670420 B2	29-10-1997
			JP	7136184 A	30-05-1995
			DE	69419231 D1	29-07-1999
			DE	69419231 T2	11-11-1999
			EP	0654251 A2	24-05-1995
			US	5636983 A	10-06-1997
DE 9208617	U	10-09-1992	DE	9208617 U1	10-09-1992
WO 9204871	A	02-04-1992	DE	4029530 A1	19-03-1992
			DE	4030734 A1	25-04-1991
			WO	9204876 A2	02-04-1992
			WO	9204871 A1	02-04-1992



## A. KLASSIFIZIERUNG DES ANMELDUNGSGEGENSTANDES

IPK 7 A61C1/00

Nach der Internationalen Patentklassifikation (IPK) oder nach der nationalen Klassifikation und der IPK

## B. RECHERCHIERTE GEBIETE

Recherchierter Mindestprüfstoff (Klassifikationssystem und Klassifikationssymbole)

IPK 7 A61C A61B

Recherchierte aber nicht zum Mindestprüfstoff gehörende Veröffentlichungen, soweit diese unter die recherchierten Gebiete fallen

Während der internationalen Recherche konsultierte elektronische Datenbank (Name der Datenbank und evtl. verwendete Suchbegriffe)

EPO-Internal, PAJ, WPI Data

## C. ALS WESENTLICH ANGESEHENE UNTERLAGEN

Kategorie*	Bezeichnung der Veröffentlichung, soweit erforderlich unter Angabe der in Betracht kommenden Teile	Betr. Anspruch Nr.
Y	EP 0 514 898 A (LASAG AG) 25. November 1992 (1992-11-25) Seite 3, Spalte 13-41 Abbildung 1	1-4, 8-10
Y	EP 0 654 251 A (YOSHIDA SEISAKUSHO KK) 24. Mai 1995 (1995-05-24) Spalte 3, Zeile 1-3, 11-13 Abbildung 1	1-4, 8-10



Weitere Veröffentlichungen sind der Fortsetzung von Feld C zu entnehmen



Siehe Anhang Patentfamilie

\* Besondere Kategorien von angegebenen Veröffentlichungen :

\*A\* Veröffentlichung, die den allgemeinen Stand der Technik definiert, aber nicht als besonders bedeutsam anzusehen ist

\*E\* älteres Dokument, das jedoch erst am oder nach dem internationalen Anmeldedatum veröffentlicht worden ist

\*L\* Veröffentlichung, die geeignet ist, einen Prioritätsanspruch zweifelhaft erscheinen zu lassen, oder durch die das Veröffentlichungsdatum einer anderen im Recherchenbericht genannten Veröffentlichung belegt werden soll oder die aus einem anderen besonderen Grund angegeben ist (wie ausgeführt)

\*O\* Veröffentlichung, die sich auf eine mündliche Offenbarung, eine Benutzung, eine Ausstellung oder andere Maßnahmen bezieht

\*P\* Veröffentlichung, die vor dem internationalen Anmeldedatum, aber nach dem beanspruchten Prioritätsdatum veröffentlicht worden ist

\*T\* Spätere Veröffentlichung, die nach dem internationalen Anmeldedatum oder dem Prioritätsdatum veröffentlicht worden ist und mit der Anmeldung nicht kollidiert, sondern nur zum Verständnis des der Erfindung zugrundeliegenden Prinzips oder der ihr zugrundeliegenden Theorie angegeben ist

\*X\* Veröffentlichung von besonderer Bedeutung; die beanspruchte Erfindung kann allein aufgrund dieser Veröffentlichung nicht als neu oder auf erfinderischer Tätigkeit beruhend betrachtet werden

\*Y\* Veröffentlichung von besonderer Bedeutung; die beanspruchte Erfindung kann nicht als auf erfinderischer Tätigkeit beruhend betrachtet werden, wenn die Veröffentlichung mit einer oder mehreren anderen Veröffentlichungen dieser Kategorie in Verbindung gebracht wird und diese Verbindung für einen Fachmann naheliegend ist

\*Z\* Veröffentlichung, die Mitglied derselben Patentfamilie ist

Datum des Abschlusses der internationalen Recherche

22. Januar 2002

Absendedatum des internationalen Recherchenberichts

29/01/2002

Name und Postanschrift der Internationalen Recherchenbehörde

Europäisches Patentamt, P.B. 5818 Patentlaan 2  
NL - 2280 HV Rijswijk  
Tel. (+31-70) 340-2040, Tx. 31 651 epo nl,  
Fax: (+31-70) 340-3016

Bevollmächtigter Bediensteter

Chabus, H

## C.(Fortsetzung) ALS WESENTLICH ANGESEHENE UNTERLAGEN

Kategorie*	Bezeichnung der Veröffentlichung, soweit erforderlich unter Angabe der in Betracht kommenden Teile	Betr. Anspruch Nr.
A	DE 92 08 617 U (STEIGER ERWIN) 10. September 1992 (1992-09-10) Seite 1, Zeile 4-10 Seite 2, Zeile 9-24 Seite 4, Spalte 1-29 Seite 5, Zeile 12-19, 33-39 Seite 6, Zeile 36 -Seite 7, Zeile 3 Seite 7, Spalte 16-18 Abbildungen 1-3 ---	1,10
A	WO 92 04871 A (STEIGER ERWIN) 2. April 1992 (1992-04-02) Seite 2, Zeile 38 -Seite 3, Zeile 36 Abbildungen 1-3 ---	1
A	RUTI L ET AL: "DIODE-PUMPED ND:YLF ALL-IN-ONE LASER" OPTICS LETTERS, OPTICAL SOCIETY OF AMERICA, WASHINGTON, US, Bd. 20, Nr. 14, 15. Juli 1995 (1995-07-15), Seiten 1541-1543, XP000514995 ISSN: 0146-9592 in der Anmeldung erwähnt das ganze Dokument ---	1,3

Im Recherchenbericht angeführtes Patentdokument		Datum der Veröffentlichung	Mitglied(er) der Patentfamilie		Datum der Veröffentlichung
EP 0514898	A	25-11-1992	FR	2676868 A1	27-11-1992
			EP	0514898 A1	25-11-1992
EP 0654251	A	24-05-1995	JP	2670420 B2	29-10-1997
			JP	7136184 A	30-05-1995
			DE	69419231 D1	29-07-1999
			DE	69419231 T2	11-11-1999
			EP	0654251 A2	24-05-1995
			US	5636983 A	10-06-1997
DE 9208617	U	10-09-1992	DE	9208617 U1	10-09-1992
WO 9204871	A	02-04-1992	DE	4029530 A1	19-03-1992
			DE	4030734 A1	25-04-1991
			WO	9204876 A2	02-04-1992
			WO	9204871 A1	02-04-1992

**THIS PAGE BLANK (USPTO)**